

PC埋設型枠を用いたコンクリートはりの疲労性状に関する実験的研究

立命館大学 正員 児島孝え 阪神高速道路公団 正員 中島裕え
立命館大学大学院 学生員 濱田謙 学生員 鈴川研二

1 はじめに 近年の道路橋鉄筋コンクリート床版の損傷問題に対する構造面の改善策の一つとしてPC埋設型枠を用いた合成床版がある。本研究はこの床版の疲労性状を検討するために、プレキャストPC版と合成した鉄筋コンクリートはりの疲労実験を実施し、合成面におけるずれ性状、変形性状、破壊形式等の疲労性状を検討した。なおRC床版の疲労性状には水の影響が指摘されており、本研究においても気中と水中の環境条件で実験を行なった。

2 実験概要 供試はりの概略を図-1に示す。供試はりにはPC版厚さ7cm、後打ち部(CSCと称す)厚さ16cmの長方形断面で合成後の寸法を15×23×200cmとした。コンクリートの設計基準強度はPC版、CSCで各々500kg/cm²、270kg/cm²である。PC版はプレテンション方式で製作し、上面にはCSCとの付着効果を高めるために凹部の間隔が50mm以下で深さ40mm程度の凸凹を設けた。PC綱より線(P_u=3.9t)の初期引張応力度は120kg/mm²とし、PC版下縁の有効プレストレスは38kg/cm²である。鉄筋は全てSD30である。疲労実験は気乾状態のはりと実験前10日前後水浸状態に置き吸水させた湿潤状態のはりを各々気中、水中の2環境条件下でせん断スパン有効高さ比2種類(αd=2.1, 3.9)で実施した。繰返し載荷速度は3.75Hzとした。表-1にシリーズ名、表-2に疲労実験に用いた供試はりの本数と上限荷重比を示す。上限荷重比は各αにおける気乾はりのせん断破壊荷重に対する比である。下限荷重は試験機の性能上すべて1.0tとした。測定項目はスパン中央たわみ、ひびわれ幅、支点位置・せん断スパン中央位置のずれ量、コンクリート上下縁ひびきみ、PC版・CSC内の鉄筋ひびきみ(気中のみ)である。測定は10⁴、5×10⁴、2×10⁵以降20万回毎に実験を中止して行なった。

3 実験結果および考察 表-3に静的試験結果を示す。破壊直前の最大ずれ量は両シリーズ共30×10⁻³mm程度であり、はりの一体性の低下は小さく、はりは斜引張破壊で破壊した。表-4に疲労試験結果を示す。今回の実験ではIIシリーズ水中65%を除いて全てPC版内の鉄筋の疲労破断により破壊した。Iシリーズでは気中65%を除いて鉄筋がせん断スパンで

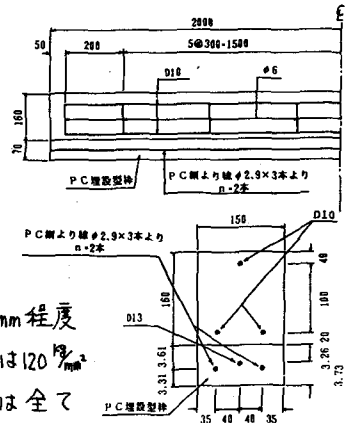


図-1 供試はりの概略図(mm)

表-1 供試はりのシリーズ名

α/d	α/d=2.1		α/d=3.9	
	気中	水中	気中	水中
I	—	A	—	W
II	—	A	—	W

表-2 疲労実験用供試はりの本数

上限荷重比	α/d=3.9		α/d=2.1	
	気中	水中	気中	水中
70%	—	—	1	1
65%	2	1	1	1
60%	2	1	—	—
55%	1	1	—	—

表-3 静的試験結果

α/d	実験値 P	計算値 P _u	P/P _u
2.1	9.35t	7.96	1.17
3.9	7.96t	6.20	1.28

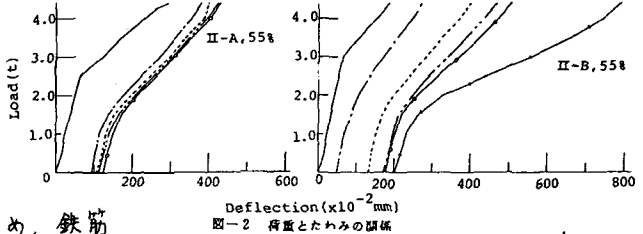
*限界状態設計法指針(案)

表-4 疲労試験結果

α/d	環境条件	上限荷重比	疲労寿命	破壊形式	破壊位置	最大ずれ量(mm)
2.1	気中	70%	404200	R-C	S	0.015
		65%	2163200	R	B	0.015
		60%	191800	R-C	S	0.050
	水中	65%	407190	R-C	S	0.030
		65%	238200	R-P	B	0.020
		65%	229200	R-P	B	0.015
3.9	気中	60%	180200	R-P	B	0.015
		60%	182500	R-P	B	0.010
		55%	313300	R-P	B	0.030
	水中	65%	99500	C	S	0.025
		60%	242200	R-P	B	0.040
		55%	423800	R-P	B	0.030

注) R: 鉄筋疲労破断 B: せん断スパン内かその近傍
P: PC版内鉄筋疲労破断 S: セン断スパン
C: 斜引張破壊

破断し斜引張破壊のような形式で破壊した。IIシリーズでは水中65%を除いて曲げスパン内で鉄筋が破断し、その後鉄筋破断位置でPC鋼線が破断して破壊した。またIIシリーズ水中65%は



水中でコンクリート強度が低下するため、鉄筋が破断する前に斜引張破壊を起こしたと考えられ、65%以上の高荷重レベルでは斜引張破壊が起こると推測される。最大すれ量は両シリーズとも気中より水中の方が大きく、%や上限荷重比の影響は認められなかった。また最大すれ量はすべて $50 \times 10^{-3} \text{mm}$ 以下で200万回の繰返しにも耐えており本実験程度の凸凹を設けた場合、合成作用は疲労により著しく低下しないと考えられる。

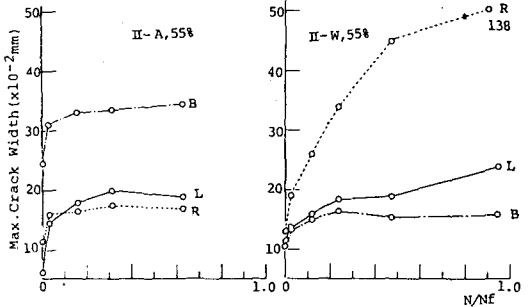


図-2に荷重とたわみの関係を示す。気中では1万回までに増加したたわみがある後ほとんど増加しなかった。一方水中においてたわみは一定の割合で増加し気中より大きい値で安定した。図-3に繰返し回数比と最大ひびわれ幅の関係を示す。ここで繰返し回数比とは各はりの疲労寿命に対する測定回数比率である。II-AはB(曲げスパン)でII-WはR(曲げスパン近傍)で破壊したが、II-Wでは破

図-3 繰返し回数比と最大ひびわれ幅の関係

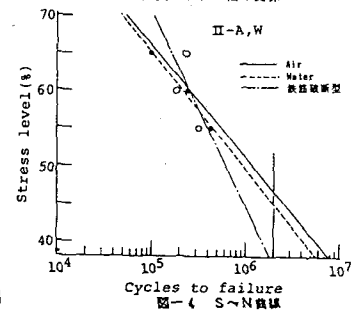


図-4 S-N曲線

壊直前に測定した値がII-Aよりはるかに大きかった。これはこの時点でPC版内の鉄筋が破断したため合成面に水平ひびわれをともなう局部的なずれが観察され、はりの剛性が著しく低下したと考えられる。なお実験中止後、除荷した時のひびわれは目視できない程度に閉じ、優れた復元性を示した。

表-5 疲労載荷時の応力振幅

a/d	上乗荷重比	コンクリート		PC版内鉄筋		CSC内鉄筋		PC鋼線	
		計算値	実験値	計算値	実験値	計算値	実験値	計算値	実験値
2.1	70%	132	126	1633	937	918	555	1601	
	65%	117	117	1398	687	774	615	1372	
3.9	65%	244	224	3183	1430	1890	1363	3116	
	60%	222	298	2827	1785	1670	1241	2768	
	55%	197	163	2432	1506	1427	899	2383	

単位 (kg/cm²)

表-5に疲労載荷時の応力振幅を示す。計算値は三種PCとして算出したもので、実験値はある程度載荷して応力振幅が安定した時点での値である。PC版内の鉄筋の応力振幅は実験値に比べて計算値が非常に大きいものとなり今後の検討が必要である。表-6に200万回疲労強度、図-4にS-N曲線を示す。200万回疲労強度はIシリーズで気中が水中を約10%上回り、IIシリーズではほぼ同じであった。またIIシリーズでは気中と水中を区別せず鉄筋が破断したはりの疲労強度も算出したが、設計荷重がIシリーズで1.7kN、IIシリーズで0.9kNであることを考えると安全側であると思われる。最後に本実験も遂行するにあたって多大な協力を得た坂口昭久氏(竹中道路) 津田章氏(京大研究生) 田中玲光氏に感謝の意を表します。

表-6 同種直線式および200万回疲労強度

a/d	環境条件	同種直線式	200万回疲労強度
2.1	Air	$S = -6.90 \text{Log} N + 108.65$	65.2%
	Water	$S = -15.22 \text{Log} N + 150.46$	54.1%
3.9	Air	$S = -14.88 \text{Log} N + 140.63$	46.1%
	Water	$S = -15.95 \text{Log} N + 142.42$	45.1%
	*	$S = -25.00 \text{Log} N - 195.00$	37.5%

*鉄筋の破断によるもの

参考文献 1) 前岡, 今井, 兎島; 昭和58年土木学会年次学術講演会第5部概要集V-155